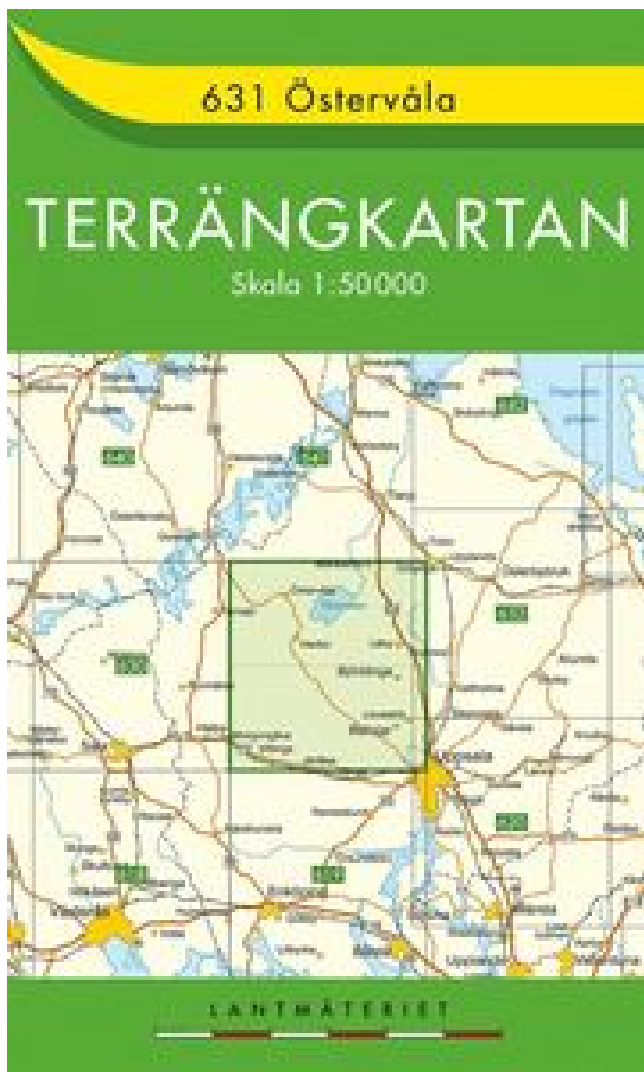


631 Östervåla Terrängkartan : 1:50000 PDF E-bok ladda ner



LADDA NER

LÄSA

Författare: .

Annan Information

Marken markerad är från 6 645 till 6990 kvadratmiljoner. Staten PA har emellertid mest konsekvent minskat avskogning och skogsförstöring, och uppvisar mindre variation över olika PA, oavsett vilken av de tre oskyddade markanvändningarna de jämfördes med. Dessutom har en omfattande litteratur framhåvt att ingen enskild styrning, såsom statliga PA,

är en silverkula för hållbar resursanvändning av skogar och andra gemensamma poolresurser (t ex refs 17, 18, 19). Medan loggningskoncessioner minskade sannolikheten för både avskogning och skogsförstöring, bidrog de lite förklarande kraft till att förutsäga någon av dem. Det här konstaterandet förefaller överraskande, eftersom konventionella skogsförfaranden i Peru allmänt anses vara ohållbara 43, 44, även om detta skulle överensstämma med tillhörande lagliga skyldigheter, som förbjuder avskogning vid inloggning av inloggningar för att främja hållbar träutvinning 43, 45, 46. Avlägsnandet av X- och Y-koordinaterna från de minimala modellerna förändrade emellertid inte riktningen och formen av relationerna mellan respons- och prediktorvariablerna. Plantagen står med två Jack Nicklaus-designade golfbanor: Golden Bear och The Golf Club. Topografiska-badymetriska kartor finns också på 1: 100 000. För att producera dessa kustkartor, National Ocean Service. Denna studie illustrerar därför att typen av markanvändningsbegränsningar och styrningsformer i landskapet utanför PA-gränserna är viktiga när man bestämmer effekterna av olika bevarandeåtgärder och styrsystem, och ger därför större uppmärksamhet vid framtida bevarandebedömningar.

Proximala socioekonomiska och miljömässiga förare var goda förutsägare för var skogsförstöring och avskogning inträffade, och fysisk tillgänglighet var den viktigaste determinanten. Google Scholar Hämtningsreferenser Bekräftelser Detta dokument stöddes av US National Science Foundation genom en samarbetsmåt av bidrag för biologisk mångfald, utmärkelser DEB-1046408, DEB-1045960 och DEB-1045991. Denna serie omfattar idag 13 ark, med skuggad lättnad. Pentagon-brevpostar använder världskartan för att rikta in nationella press och media till geografiska områden av intresse för allmänheten. CAS PubMed Artikel Google Scholar Excoffier L, Lischer HEL. (2010). Arlequin Suite Ver 3.5: En ny serie av program för att utföra population genetics analyser under Linux och Windows. Indigo Run Plantation har många olika livsstil och homesite alternativ: lägenheter, ranch stil hem och lyxiga bostadshus. Dessa topografiska kartor har blivit populära, inte bara för deras detaljerade översikt över ett stort område, men också som en utmärkt vägkarta för att utforska bakvägarna. CCs har främjats i många länder, inklusive i östra Asien och Syd- och Nordamerika 35, 36, 37. Columbia och områden som Antarktis, Bahamas och Island.

Google Scholar Edmunds GF Jr, Jensen SL, Berner L. (1976) Mayfliesna i Nord- och Centralamerika. Stater. De flesta andra stater har förberett och gjort tillgängliga sina egna statliga geologiska kartor. Skogsreformen och organisationen av loggning i Peruansk Amazonia. Dev. Byta. Dessa inkluderar smalare vägar och spår för jakt, loggning och utvinning av skogsprodukter från timmer. Google Scholar Halbritter AH, Billeter R, Edwards PJ, Alexander JM. (2015). Lokal anpassning vid räckviddskanter: Jämför höjd- och latitudgradienten. PubMed-artikel Google Scholar Funk WC, Blouin MS, Corn PS, Maxell BA, Pilliod DS, Amish S et al. (2005). Befolkningsstrukturen i Columbia spotted grodor (*Rana luteiventris*) påverkas starkt av landskapet. Motsvarande författare Korrespondens till N R Polato. Resources Division, U.S. Geological Survey, 423 National Center, Reston, VA 20192. Vi inkluderade IT som skyddad styrning 58, 59 eftersom de har visat sig skydda ekosystem i andra länder, även om de är etablerade för andra ändamål än miljöskydd 20. Artikel Google Scholar Hughes JM, Schmidt DJ, Finn DS. (2009). Gen i strömmar: Använda DNA för att förstå rörelsen för sötvattenfena och deras flodhabitat.

Covariater som användes vid varje matchande analys valdes genom en interaktiv process baserad på litteraturen (t ex refs 24, 26, 28, 30), resultaten av GLM och den observerade balansen i kovariaten. Det fanns emellertid inga konsekventa skillnader mellan

bevarandestyrningsregimer när de matchades med loggning och gruvmedgivanden. Dessutom är prestationsindikatorer för skogsparasorterna vanligtvis begränsade till avskogning, även om omfattningen av skogsförstöring är större. Undersökning. Vissa figurer har ändrats eller lagts till för att förbättra den vetenskapliga. I-seriekartor är fotogeologiska kartor som sammanställdes från flygfoton med lite eller. Artikel Google Scholar Goslee SC, Urban DL. (2007). Ecodist-paketet för olikhetsbaserad analys av ekologiska data. Data Tillgänglighet Dataseten som genererats under den aktuella studien är tillgängliga från motsvarande författare på rimlig begäran. Det är en sann framställning av terrängdetalj; funktioner ritas för att korrigera orientering och sant läge. Arkstorleken är ca 18 x 22 tum norr om latitud 62 grader. Fullstor bild Drivers av skogsförstöring och avskogning De närliggande miljömässiga och socioekonomiska förarna förklarade 50,6% och 48,4% av avvikelserna av rumsliga generaliserade linjära modeller av skogsförstöring respektive avskogning. Dess höga detaljnivå gör denna skala topo karta idealisk för fritidsaktiviteter, såsom vandring, promenader och cykling.

Den senare var dock en starkare förutsägelse för avskogning än skogsförstöring. Förutom att utvidga denna generalisering till den peruanska Amazon 29 bygger våra resultat på tidigare bevis som visar att ITs är särskilt effektiva för att motverka platsspecifik avskogning i förhållande till statskontrollerade PA i Brasilien 26, 28. Med hjälp av enkla nukleotidpolymorfismgenotyper mättes populationens mångfald och sårbarhet i dessa två arter genom att: (i) beskriva genetisk mångfald och befolkningsstruktur över höjdgradienter för att identifiera mekanismer som ligger till grund för diversifiering; (ii) utföra rumsligt explicita landskapsanalyser för att identifiera miljöförare av differentiering; och (iii) identifiera outlier-loci som är hypoteser för att ligga till grund för adaptiv divergens. För de oskyddade skogsstyrningsregimerna betraktade vi utvinningsbeteckningar, nämligen aktiva loggnings- och gruvmedgivanden, liksom det bredare oskyddade landskapet bortom dessa beteckningar. Eftersom provstorlekarna för statliga PA och IT-apparater fortfarande var över de rekommenderade 100 000 pixlarna sprang vi båda i tre separata uppsättningar med 100 000 pixlar vardera. Även om tidigare bedömningar har gjorts har det omgivande oskyddade landskapet behandlats som homogent, utan att skilja mellan olika former av styrning och varierande rättsliga begränsningar för naturresursuttag (se även domarna 31, 34). PeerJ 2: e281. PubMed Artikel Google Scholar Kopelman NM, Mayzel J, Jakobsson M, Rosenberg NA, Mayrose I. (2015). Clumpak: ett program för att identifiera klustringslägen och förpackningar av befolkningsstrukturen över K. En viktig aktivitet i programmet är den systematiska kartläggningen av.

Som skyddade markanvändningsbeteckningar betraktade vi de mest talrika kategorierna som finns i den peruanska Amazon där kommersiell selektiv loggning och avskogning är förbjuden, nämligen nationella statliga PA, CC och IT. Detta betonar vikten av att kombinera fjärranalys med fältdata för att utforska orsakssamband, triangulera fynd mellan datakällor och utnyttja sin fulla potential 48. Dessa positiva effekter förväntas öka när utvecklingsgränserna expanderar vidare i peruanska Amazon. En länk karta kan bestå av ett eller flera lakan, beroende på länets storlek. Fullbilsresultat Resultat Avskogning och skogsförstöring över skogsstyrningsregimer Under perioden 2006-2013 var halten av skogsförstöring och avskogning 0,53% respektive 0,35%.

Artikel Google Scholar Catchen J, Hohenlohe PA, Bassham S, Amores A, Cresko WA. (2013). Stacks: ett analysverktyg för populationsgenomik. Kartan producerades i ArcMap 10.3 () baserat på shapefiles samlade för denna studie. Medan alla tre bevarandestrategierna var

effektiva för att undvika avskogning och nedbrytning jämfört med det bredare oskyddade landskapet, var effekterna mindre konsekventa jämfört med loggnings- och gruvmedgivanden. Division, U.S. Geological Survey, 423 National Center, Reston, VA 20192. Det skulle vara värdefullt för framtida forskning att bedöma om resultaten som rapporteras här också gäller data som samlats in efter 2011. CAS PubMed Artikel Google Scholar Galpern P, Peres-Neto PR, Polfus J, Manseau M. (2014). MEMGENE: Spatial mönsterdetektion i genetiska distansdata. Vi vet att detta är den första studien för att utvärdera det civila samhället och privata PA med hjälp av ett motfaktiskt matchande tillvägagångssätt.

Under tiden för att säkerställa fortsatt stöd visar vi webbplatsen. Artikel Google Scholar Hughes JM, Mather PB, Hillyer MJ, Cleary C, Peckarsky B. (2003). Genetisk struktur i en montane mayfly *Baetis bicaudatus* (Ephemeroptera: Baetidae), från Rocky Mountains, Colorado. Dessutom har endast få kontrafaktiska studier utvärderat bevarandeffekterna av markanvändningsbeteckningar andra än statliga PA 31, 32, 33, trots ökad medvetenhet om vikten av andra styrformer. CLASlite är särskilt väl lämpad för denna studie, eftersom den (i) var speciellt utformad för att upptäcka avskogning och skogsförstörelse i tropiska skogar, (ii) har omfattande validerats, särskilt i den peruanska och brasilianska Amazon 49, 61, 64, och (iii) har resulterat i högre nivåer av noggrannhet än en övervakad klassificering och den senaste globala skiftbytet dataset 11. Detta är särskilt viktigt mot bakgrund av de utbredda politiska intressena att motstå eller vända decentraliseringen och decentraliseringen av kontrollen över skogar och andra naturresurser 40, 41, 42. I Peru är förnybara energikällor förnybara på 40 år och har alltmer spridits som ett bevarandeverktyg över den peruanska Amazon 60. Följaktligen omger mycket debatt de relativa effekterna av bevarandeåtgärder inom olika styrsystem för att uppfylla bevarandemålen. Kartan visar detaljnivå som krävs för infanteri och rekognoseringsenheter för att navigera i olika terrängmiljöer, inklusive djungel, berg, arktisk och öken.

PubMed Artikel Google Scholar Gör C, Waples RS, Skal D, Macbeth GM, Tillett BJ, Ovenden JR. (2014). NeEstimator v2: återimplementering av programvara för uppskattning av samtida effektiv befolkningsstorlek (N_e) från genetiska data. Artikel Google Scholar Bauernfeind E, Moog O. (2000). Mayflies (Insecta: Ephemeroptera) och bedömningen av ekologisk integritet: ett metodiskt tillvägagångssätt. Dessutom har regeringarna kommit överens om ambitiösa mål för att utvidga dessa ytterligare 9. Vi varnar dock för att tolka detta som bevis på effektivt skyddade loggkoncessioner, bevis som framkommer i kombination med data från andra källor. Funktionerna är ritade för korrekt orientering och sant läge.

Google Scholar Murphy MA, Dezzani R, Pilliod DS, Storfer A. (2010). Landskapsgenetik av metabopuleringar med hög bergs groda. De flesta kartor i denna serie publicerades före 1965. PubMed Artikel Google Scholar DeChaine EG, Martin AP. (2004). Historiska cykler av fragmentering och expansion i *Parnassius smintheus* (Papilionidae) avledas med hjälp av mitokondriellt DNA. CAS PubMed Artikel Google Scholar Plummer M, Bästa N, Cowles K, Vines K. (2006). CODA: Konvergensdiagnos och resultatanalys för MCMC. Vi bestämde procentuella avskogning och nedbrytningshastigheter för varje behandlingsområde.